



รายงานการวิจัย

การเตรียม Grafted Polyolefins โดยวิธีการ

Melt Free Radical Grafting

(Preparation of Grafted Polyolefins by Melt Free Radical Grafting)

ได้รับทุนอุดหนุนการวิจัยจาก
มหาวิทยาลัยเทคโนโลยีสุรนารี

ผลงานวิจัยเป็นความรับผิดชอบของผู้ว่าหน้าโครงการวิจัยและผู้เขียน

รหัสโครงการ SUT7-708-43-12-61



รายงานการวิจัย

การเตรียม Grafted Polyolefins โดยวิธีการ Melt Free Radical Grafting

(Preparation of Grafted Polyolefins by Melt Free Radical Grafting)

คณะกรรมการ

หัวหน้าโครงการ
ดร. กัญมา จากรุ่งโรจน์
สาขาวิชาวิศวกรรมพอลิเมอร์
สำนักวิชาวิศวกรรมศาสตร์
มหาวิทยาลัยเทคโนโลยีสุรนารี

ได้รับทุนอุดหนุนการวิจัยจากมหาวิทยาลัยเทคโนโลยีสุรนารี ปีงบประมาณ 2543
ผลงานวิจัยเป็นความรับผิดชอบของหัวหน้าโครงการวิจัยแต่เพียงผู้เดียว

กิตติกรรมประกาศ

การวิจัยเรื่อง การเตรียม Grafted Polyolefins โดยวิธี Melt Free Radical Grafting นี้ได้รับทุนอุดหนุนการวิจัยจากมหาวิทยาลัยเทคโนโลยีสุรนารี ปีงบประมาณ 2543 (ทุนระหว่างปี)

งานวิจัยนี้ สำเร็จลงได้ด้วยความร่วมมือและสนับสนุนจากหลายบุคคล ผู้วิจัยต้องขอขอบคุณผู้ช่วยวิจัย คือ น.ส. วรรณพร ณ ไทร นักศึกษาสาขาวิชาวิศวกรรมพอลิเมอร์ สำนักวิชาวิศวกรรมศาสตร์ มหาวิทยาลัยเทคโนโลยีสุรนารี และเจ้าหน้าที่ศูนย์เครื่องมือวิทยาศาสตร์และเทคโนโลยี มหาวิทยาลัยเทคโนโลยีสุรนารี

ดร. กษมา จากรกษาร

(หัวหน้าโครงการวิจัย)

พฤษภาคม 2544

บทคัดย่อภาษาไทย

การวิจัยนี้เป็นการศึกษาการกราฟพอลลิโอทีลีนชนิดความหนาแน่นต่ำด้วยไกลซีดิล เมททาไคล-เลท มอนอเมอร์ โดยมี ไดคิวมิล เปอร์ออกไซด์ เป็นตัวเริ่มนิวนัลลิสติอะลู ปฏิกิริยาเกิดขึ้นในเครื่องผสมภายนอก มีการศึกษาผลของตัวแปรทางการผลิต เช่น อุณหภูมิในการผสม และตัวแปรทางเคมี เช่น ความเข้มข้นของมอนอเมอร์ และความเข้มข้นของตัวเริ่มนิวนัลลิสติอะลู ต่อระดับการกราฟ เทคนิคพูร์-เออร์ทранส์ฟอร์ม อินฟราเรดスペกโตรสโคป เป็นเทคนิคที่ใช้ในการวิเคราะห์ปฏิกิริยาการกราฟ และระดับการกราฟ โดยการติดตามอิพอกซีพีค ซึ่งเป็นคุณลักษณะของ ไกลซีดิล เมททาไคล-เลท มอนอเมอร์ พบว่าระดับการกราฟเพิ่มขึ้นเมื่อมีการเพิ่มขึ้นของความเข้มข้นของมอนอเมอร์ และความเข้มข้นของตัวเริ่มนิวนัลลิสติอะลู นอกจากนี้มีการศึกษาสมบัติทางวิทยากระแสของกราฟพอลลิเมอร์

Abstract

Glycidyl methacrylate is grafted onto low density polyethylene in the presence of dicumyl peroxide as an initiator in an internal mixer. The effects of processing parameter: temperature and chemical parameter: monomer and initiator concentration on the grafting level are studied. Fourier Transform Infrared Spectroscopy, FTIR is used to characterize the grafting reaction and grafting level. The grafting reaction is followed by the appearance of an epoxy peak which is a characteristic peak of glycidyl methacrylate monomer. The grafting level increases with increasing the monomer and initiator concentration. In addition, the rheological properties of grafted polymer are also determined.

สารบัญ

	หน้า
กิตติกรรมประกาศ	ก
บทคัดย่อภาษาไทย	ข
บทคัดย่อภาษาอังกฤษ	ค
สารบัญ	ง
สารบัญตาราง	น
สารบัญภาพ	ฉ
บทที่ 1 บทนำ	
1.1 ความสำคัญและที่มาของการวิจัย	1
1.2 วัตถุประสงค์ของการวิจัย	2
1.3 ขอบเขตของการวิจัย	2
1.4 ประโยชน์ที่ได้รับจากการวิจัย	2
บทที่ 2 ภูมิหลัง	
2.1 กระบวนการผลิตแบบเกิดปฏิกริยา	3
2.2 การกราฟพอลิเมอร์	3
บทที่ 3 วัสดุและการทดลอง	
3.1 วัสดุ	10
3.2 วิธีการทดลอง	11
3.2.1 กระบวนการกราฟ	11
3.2.2 การวิเคราะห์กราฟพอลิเมอร์	11
3.2.2.1 การหาระดับของการกราฟโดยใช้เทคนิคฟูริเยอร์- ทรานส์ฟอร์ม อินฟราเรดสเปกโตรสโคปี	11
3.2.2.2 การทดสอบสมบัติทางการไฟลของกราฟพอลิเมอร์โดยใช้ มาตรฐานการทดสอบค่าดัชนีการไฟล	12
บทที่ 4 ผลการทดลองและวิเคราะห์ผลการทดลอง	13
4.1 การหาระดับการกราฟโดยใช้เทคนิคฟูริเยอร์ทรานส์ฟอร์ม- อินฟราเรดสเปกโตรสโคปี	13
4.1.1 ผลกระทบของการปรับเปลี่ยนปริมาณของตัวเริ่มอนุญาติสาระ และ มอนอเมอร์	13

	หน้า
4.1.2 ผลกระทบของการปรับเปลี่ยนอุณหภูมิของกระบวนการกราฟ	19
4.2 การศึกษาสมบัติด้านวิทยากราฟ	21
บทที่ 5 บทสรุป	
สรุปผลการวิจัย	25
ข้อเสนอแนะ	25
บรรณานุกรม	26
ประวัติผู้วิจัย	28

สารบัญตาราง

ตาราง	หน้า
2.1 ตัวอย่างของพอลิโอลิฟินที่กราฟด้วยไกลซีดิล เมททาไคลเลท มอนอเมอร์ที่ใช้เป็นตัวช่วยให้เข้ากัน ในพอลิเมอร์ผสมที่ไม่เข้ากัน	6
3.1 วัสดุที่ใช้ในการทดลอง	10
4.1 ผลกระทบของการปรับเปลี่ยนความเข้มข้นของมอนอเมอร์ และตัวเริ่มนูนูลอิสระต่อระดับการกราฟของ LDPE-g-GMA วิเคราะห์โดยใช้เทคนิคฟูริเออร์ทرانส์ฟอร์ม อินฟราเรดสเปก trost กोปี	14
4.2 ผลกระทบของการปรับเปลี่ยนอุณหภูมิของกระบวนการกราฟต์ระดับการกราฟของ LDPE-g-GMA วิเคราะห์โดยใช้ เทคนิคฟูริเออร์ทرانส์ฟอร์ม อินฟราเรดสเปก trost กอปี	19
4.3 ค่าดัชนีการ ไฟล และค่าทอร์กต่ำสุดของพอลิเอทิลีน พอลิเอทิลีนที่มีการกระทำทางกล (mechanically treated LDPE, MLDPE) และพอลิเอทิลีนที่มีการผสมด้วยไดคิวมิล เปอร์เซนต์ ที่ 0.2, 0.4, 0.6 phr	21
4.4 ค่าดัชนีการ ไฟล และค่าทอร์กต่ำสุดของพอลิเอทิลีนที่กราฟด้วยไกลซีดิล เมททาไคลเลท มอนอเมอร์	24

สารบัญภาพ

ภาพ	หน้า
2.1 กลไกของการเกิดกราฟแบบอนุมูลอิสระของพอลิโอลิฟิน ¹⁷	4
4.1 FTIR สเปกตรัม (a) LDPE (b) LDPE/DCP/GMA 100/0.6/10	15
4.2 กราฟมาตรฐาน	16
4.3 FTIR สเปกตรัม (a) LDPE/DCP/GMA 100/0.2/5 (b) LDPE/DCP/GMA 100/0.4/5 (c) LDPE/DCP/GMA 100/0.6/5	17
4.4 FTIR สเปกตรัม (a) LDPE/DCP/GMA 100/0.2/10 (b) LDPE/DCP/GMA 100/0.4/10 (c) LDPE/DCP/GMA 100/0.6/10	18
4.5 FTIR สเปกตรัม (a) LDPE/DCP/GMA 100/0.2/10 (180°C) (b) LDPE/DCP/GMA 100/0.2/10 (200°C) (c) LDPE/DCP/GMA 100/0.4/10 (180°C) (d) LDPE/DCP/GMA 100/0.4/10 (200°C) (e) LDPE/DCP/GMA 100/0.6/10 (180°C) (f) LDPE/DCP/GMA 100/0.6/10 (200°C)	20
4.6 ความสัมพันธ์ระหว่างค่าทธร์ก และเวลาในการทดสอบของ MLDPE และ LDPE ที่มีการ ทดสอบด้วย DCP 0.2, 0.4, 0.6 phr	22
4.7 การแตกตัวของไนโตรมิล เปอร์ออกไซด์ และการเกิดร่างแหของพอลิเอทิลีน ³¹	23

บทที่ 1

บทนำ

1.1 ความสำคัญและที่มาของการวิจัย

กระบวนการผลิตแบบเกิดปฏิกิริยา (reactive processing) ของพอลิเมอร์ (polymer) ได้รับความสนใจอย่างมากในปัจจุบัน เนื่องจากมีความสำคัญในการพัฒนาวัสดุพอลิเมอร์ (polymeric materials) ชนิดใหม่ กระบวนการผลิตแบบเกิดปฏิกิริยา เป็นกระบวนการที่มีค่าใช้จ่ายต่ำ เพราะว่าไม่ต้องเสียค่าใช้จ่ายในการกำจัดตัวทำละลาย (solvent) และผลิตที่ได้มีการปนเปื้อนต่ำ (low contamination) เมื่อเปรียบเทียบกับการสังเคราะห์โดยการใช้ตัวทำละลาย ปฏิกิริยาการกราฟ (grafting reaction) ในเครื่องผสมแบบแบนตช์ (batch mixers) และแบบต่อเนื่อง (continuous mixers) เป็นวิธีการหนึ่งของกระบวนการผลิตแบบเกิดปฏิกิริยาที่ใช้ในการดัดแปลง (modification) พอลิเมอร์

พอลิเมอร์ชนิดไม่มีข้าว (non polar polymer) ตัวอย่างเช่น พอลิโอลิฟิน (polyolefins) เป็นวัสดุที่มีคุณสมบัติที่ดีในด้านต่างๆ เช่น ราคาไม่สูง มีความต้านทานทางเคมี (chemical resistance) และ ตัวทำละลาย (solvent resistance) ที่ดี แต่มีข้อเสีย คือ ความสามารถในการขึ้นติด (adhesion) กับวัสดุประเภท โลหะ แก้ว และ พอลิเมอร์ชนิดมีข้าว (polar polymer) ต่ำ การทำปฏิกิริยาการกราฟของพอลิ-โอลิฟินด้วยมอนومอร์ (monomer) ที่ประกอบด้วยหมู่เคมีที่มีข้าว (polar group) เป็นการเพิ่มความสามารถในการสร้างพันธะ (bonding capacity) กับวัสดุประเภท แก้ว โลหะ นอกจากนี้มีการใช้ กราฟ พอลิเมอร์ (grafted polymer) เป็นตัวช่วยให้เข้ากัน (compatibilizer) ในการปรับปรุงการเข้ากันได้ (compatibility) ของพอลิเมอร์ผสมที่ไม่เข้ากัน (immiscible blends)

มอนอมอร์ชนิดมีข้าว ที่ใช้ในการทำปฏิกิริยาการกราฟกับพอลิโอลิฟิน ที่ใช้กันมากเป็นมอนอมอร์ที่เป็นอนุพันธ์ของกรดคาร์บอซิลิกที่ไม่อิ่มตัว (unsaturated carboxylic acid) เช่น ไกลซีดิล เมททาไคลเดท (glycidyl methacrylate, GMA)^{1,2,3} มาเลอิค อ่อนไฮดรอย (maleic anhydride, MAH)^{4,5,6,7} และกรดอะคริลิก (acrylic acid, AA)^{8,9,10} ไกลซีดิล เมททาไคลเดท เป็นมอนอมอร์ที่มีการใช้อย่างกว้างขวางในการดัดแปลงพอลิเมอร์ เนื่องจากมีหมู่เคมีบอนิล (carbonyl group) และ อีพอกซี่ (epoxy group) ซึ่งสามารถเกิดปฏิกิริยาหากับ พอลิเมอร์ที่มีหมู่อีสเตอร์ (ester group) และ เอามิค (amide group)^{11,12,13}

การไถเตรท (titration) และฟูริเออร์ทเรนสฟอร์ม อินฟราเรดスペกโตรสโคปี (Fourier Transform Infrared Spectroscopy, FTIR) เป็นเทคนิคที่ใช้ในการวิเคราะห์การกราฟของไกลซีดิล เมททาไคลเดท มอนอมอร์ ไปบนพอลิเมอร์ ปฏิกิริยาการกราฟเกิดขึ้นในเครื่องผสมภายใน (internal mixer) และ เครื่องอัครีดแบบสกรู (screw extruder) มีการศึกษาความสัมพันธ์ระหว่าง กระบวนการผลิต (processing condition) เช่น อุณหภูมิ เวลา ความเร็วอบ และสภาวะทางเคมี (chemical

condition) เช่น ความเข้มข้นของมอนอเมอร์ (monomer concentration) ความเข้มข้นของตัวเริ่มอนุญาติสาร (initiator concentration) ต่อระดับการกราฟ (grafting level)^{1,3,14,15}

1.2 วัตถุประสงค์ของการวิจัย

1. เตรียม grafted polyolefins
2. ศึกษาผลของตัวแปรทางการผลิต (processing parameters) และตัวแปรทางเคมี (chemical parameters) ต่อระดับการกราฟ ซึ่งวิเคราะห์โดยใช้เทคนิคฟูริเออร์ทรานส์ฟอร์ม อินฟราเรดスペกโตรสโคปี (Fourier Transform Infrared Spectroscopy, FTIR)
3. ศึกษาคุณสมบัติทางวิทยากระแส (rheological properties) ของกราฟพอลิเมอร์

1.3 ขอบเขตของการวิจัย

การวิจัยนี้ เป็นการศึกษาการกราฟพอลิเอทิลีนชนิดความหนาแน่นต่ำ (low density polyethylene) ด้วยไกลซีดิล เมททาไคลอเลท มอนอเมอร์ การผสมทำในเครื่องผสมภายใต้ ศักยภาพของตัวแปรทางการผลิต (processing parameters) เช่น อุณหภูมิในการผสม และ ตัวแปรทางเคมี (chemical parameters) เช่น ความเข้มข้นของมอนอเมอร์ ความเข้มข้นของตัวเริ่มปฏิกิริยา ต่อระดับการกราฟ มีการใช้เทคนิคฟูริเออร์ทรานส์ฟอร์ม อินฟราเรดスペกโตรสโคปี ใน การวิเคราะห์ระดับการกราฟของกราฟพอลิเมอร์ นอกจากนี้มีการศึกษาคุณสมบัติทางวิทยากระแสของกราฟพอลิเมอร์

1.4 ประโยชน์ที่คาดว่าจะได้รับ

1. Grated polyolefins ที่เตรียมได้สามารถนำมาใช้เป็นตัวช่วยให้เข้ากัน (compatibilizer) ในพอลิเมอร์ผสม (polymer blends)
2. Grafted polyolefins ที่เตรียมได้ มีความสามารถในการสร้างพันธะกับ วัสดุประเภทแก้ว และโลหะ ได้ดีกว่า polyolefins ที่ไม่ได้ดัดแปลง
3. เป็นการพัฒนาความรู้ด้านกระบวนการกราฟพอลิเมอร์แบบเกิดปฏิกิริยา (reactive processing)

บทที่ 2

ภูมิหลัง

2.1 กระบวนการผลิตแบบเกิดปฏิกิริยา

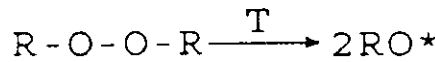
กระบวนการผลิตแบบเกิดปฏิกิริยา เป็นการเกิดปฏิกิริยาทางเคมี (chemical reaction) ของ พอลิเมอร์ในระหว่างการผลิต การดัดแปลงพอลิเมอร์โดยกระบวนการหลอม (melt processing) มีข้อ ดีในด้านสิ่งแวดล้อมและด้านเศรษฐศาสตร์ คือ มีต้นทุนต่ำ เนื่องจากไม่มีค่าใช้จ่ายในการกำจัดตัวทำ ละลาย และนำตัวทำละลายกลับมาใช้ใหม่ และผลผลิตที่ได้มีการปนเปื้อนต่ำ

กระบวนการผลิตแบบเกิดปฏิกิริยา สามารถทำได้ทั้งในเครื่องผสมแบบแบบต์ซ์ และเครื่อง ผสมแบบต่อเนื่อง ชนิดของปฏิกิริยาทางเคมีที่เกิดขึ้นโดยวิธีการอัดรีดแบบเกิดปฏิกิริยา (reactive extrusion) สามารถแบ่งออกได้เป็น 6 ประเภท คือ การเกิดพอลิเมอร์แบบบัลก์ (bulk polymerization) การเกิดปฏิกิริยาการกราฟ (graft reaction) การเกิดโคลอพลิเมอร์ระหว่างสายโซ่ (interchain copolymer formation) การเกิดปฏิกิริยาการประสาน หรือการเกิดกิ่ง (coupling or branching reaction) การแตก สาย โดยการควบคุมน้ำหนักโมเลกุล (controlled molecular weight degradation) และ การเกิดหมู่ พังก์ชัน หรือการดัดแปลงหมู่พังก์ชัน (functionalization or functional group modification)¹⁶

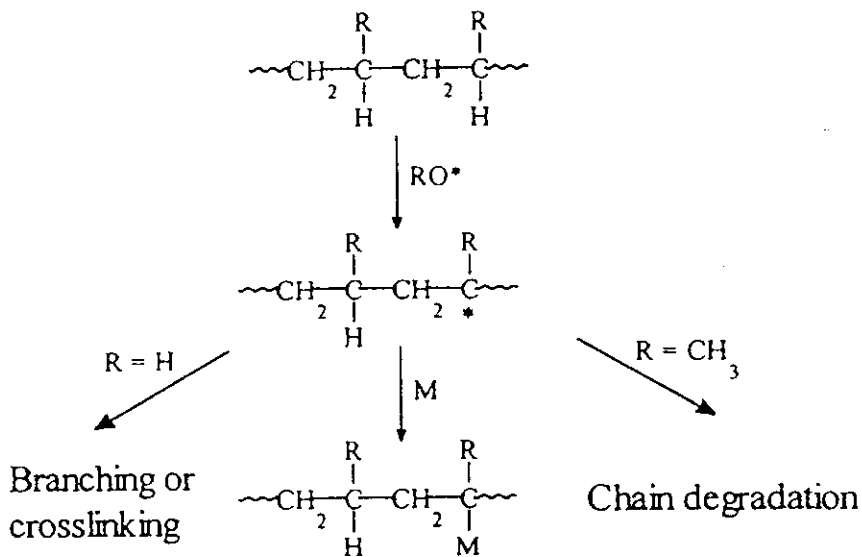
2.2 การกราฟพอลิเมอร์

การกราฟแบบอนุมูลอิสระ (free radical grafting) เกี่ยวข้องกับการตัด (scission) ของสายโซ่ โมเลกุล (molecular chain) ซึ่งเกิดจากการแตกสลาย (degradation) ของพอลิเมอร์ แล้วเกิดการกราฟ ของมอนомнอมอร์บนพอลิเมอร์หลัก (polymer backbone) กลไกของการเกิดการกราฟแบบอนุมูลอิสระ ของพอลิโอดิฟิน แสดงในรูปที่ 2.1. ขั้นตอนแรก คือการเกิด อนุมูลอิสระเบื้องต้น (primary radicals) ของ ตัวเริ่มอนุมูลอิสระ (free radical initiator) จากนั้น อนุมูลอิสระเบื้องต้นจะไปดึงไฮโดรเจนจาก พอลิเมอร์หลักได้ อนุมูลอิสระใหญ่ (macroradicals) ขั้นตอนต่อมาเป็นการเกิดปฏิกิริยาการกราฟ การ เกิดร่างแท่ง (crosslinking) หรือ การแตกสลาย ซึ่งการเกิดร่างแท่ง และการแตกสลาย เป็นปฏิกิริยาข้าง เกียง (side reaction) ที่เกิดขึ้น ในกรณีของพอลิเอทิลีนจะเกิดร่างแท่ง ส่วนพอลิโพพิลีน (polypropylene) จะเกิดการแตกสลายของสายโซ่ โมเลกุล ทำให้น้ำหนักโมเลกุลของพอลิเมอร์ลดลง นอกจากนี้ยังมีปฏิกิริยาข้างเกียง คือ การเกิดพอลิเมอร์ของมอนомнอมอร์ (homopolymerization)

ขั้นที่ 1 : การเกิดอนุมูลอิสระเบื้องต้น

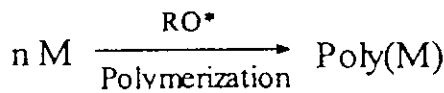


ขั้นที่ 2 : การเกิดอนุมูลอิสระใหญ่ และการเกิดปฏิกิริยาการกราฟ การเกิดร่างแท้ และการเกิดการแตกสลาย



กรณีพอลิเอทิลีน $R = H$ ส่วนกรณีพอลิพิลีน $R = CH_3$

ขั้นที่ 3 : การเกิดพอลิเมอร์ของอนองเมอร์



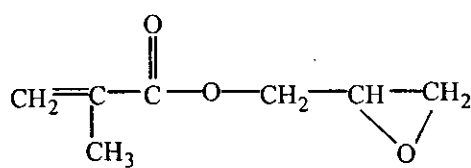
รูปที่ 2.1 : กลไกของการเกิดการกราฟแบบอนุมูลอิสระของพอลิโอลิฟิน¹⁷

การกราฟแบบอนุมูลอิสระ สามารถทำได้หลายวิธี เช่น การกราฟโดยการหลอม (melt grafting) การกราฟโดยใช้ตัวทำละลาย (solution grafting) และการกราฟโดยใช้การแผ่รังสี (radiation grafting) การกราฟโดยการหลอมเป็นวิธีที่ใช้กันมาก เนื่องจากวิธีการไม่ซับซ้อน เวลาในการเกิดปฏิกิริยาสั้น และราคาถูก

การประยุกต์ใช้กราฟโโคโพลิเมอร์ (graft copolymer) ที่สำคัญอย่างหนึ่ง คือใช้ในการเพิ่มการเกิดพันธะกับวัสดุ หรือใช้เป็นตัวช่วยให้เข้ากัน ได้ในพอลิเมอร์ผสมที่ไม่เข้ากัน เพื่อให้เกิดปฏิกิริยาเฉพาะ (specific interaction) และ/หรือ ปฏิกิริยาทางเคมี ชาโนโตรส (Xanthos)¹⁸ ได้อธิบายไว้ว่า ตัวช่วยให้เข้ากัน จะทำหน้าที่เป็น สารระหว่างเฟส (interfacial agent) เนื่องจากมีแนวโน้มที่จะอยู่บริเวณระหว่างเฟส (interface) เมนีอนสารก่ออัมลัชัน (emulsifiers)

ตัวอย่างของพอลิโอลิฟินที่กราฟด้วยไกลเซอีดิล เมททาไคลेट มอนอเมอร์ ที่ใช้เป็นตัวช่วยให้เข้ากัน ในพอลิเมอร์ผสมที่ไม่เข้ากัน แสดงในตารางที่ 2.1

จากที่กล่าวมาแล้วว่าไกลเซอีดิล เมททาไคลेट มอนอเมอร์ มีกลุ่มอิพอกซีในโครงสร้าง ซึ่งอาจเพิ่มความไวของปฏิกิริยา (reactivity) กับ พอลิเอสเทอร์ได้มากขึ้น ไกลเซอีดิล เมททาไคลेट มอนอเมอร์ สามารถถูกกราฟไปบนพอลิเมอร์ได้หลายวิธี ได้แก่ การกราฟโดยการหลอม การกราฟโดยใช้ตัวทำละลาย และการกราฟโดยใช้การแผ่รังสี การกราฟโดยการหลอมเป็นวิธีที่นิยมใช้มากกว่า เนื่องจากต้นทุนต่ำ ไม่ต้องใช้ตัวทำละลาย เป็นกระบวนการที่ไม่ซับซ้อน นอกจากนี้ปฏิกิริยาข้างก็ค ไม่ว่าที่สั้น สูตรโครงสร้างทางเคมีของไกลเซอีดิล เมททาไคลेट มอนอเมอร์ คือ



ในปี ค.ศ. 1982 加魯奇และโกอิง (Gallucci and Going)¹ ได้ทำการกราฟของไกลเซอีดิล เมททาไคล์ บันพอลิเอทิลีนชนิดความหนาแน่นต่ำ โดยใช้เครื่องผสมภายใน (internal mixer) มีการใช้ ไดคิวมิว 佩อร์ออกไซด์ (dicumyl peroxide, DCP) เป็นตัวเริ่มอนุมูลอิสระ 佩อร์เซ็นต์การกราฟสามารถหาได้จากการวัดอัตราส่วนของการบอนิลพีคต่อเมทิลพีค การวิเคราะห์โดยหาปริมาณออกซิเจน (oxygen analysis) และการไถเตรท พบว่าไม่มีการกราฟเกิดขึ้นเมื่อไม่ได้ใส่ตัวเริ่มอนุมูลอิสระ กลไกของปฏิกิริยาการกราฟ ไกลเซอีดิล เมททาไคล์ บันพอลิเอทิลีนชนิดความหนาแน่นต่ำ แสดงในรูปที่ 2.2

ตารางที่ 2.1 : ตัวอย่างของโพลิโอลิฟินที่กราฟด้วยไกลเซอร์ เมททาไคเลท มอนอเมอร์ ที่ใช้เป็นตัวช่วยให้เข้ากัน ในโพลิเมอร์ผสมที่ไม่เข้ากัน

โพลิเมอร์ผสม	กราฟโพลิโอลิฟิน	คุณสมบัติที่ศึกษา	ปี ค.ศ.(เอกสารอ้างอิง)
PET/HDPE	E-GMA*	Impact, Tensile	1992 ¹¹
PET/LDPE			
PET/EPR			
PC/PETP	E-GMA*	Morphology, Impact	1993 ¹⁹
PBT/PP	E-GMA*	Morphology, Impact, Tensile	1996 ²⁰
PPS/PET PPS/nylon 6	LDPE-g-GMA	Morphology, Impact	1994 ²¹
HDPE/nylon 6	LDPE-g-GMA	Morphology, Impact	1995 ²²
PE/SCR#	LDLPE-g-GMA	Morphology, Impact	1995 ²³
HDPE/PET	HDPE-g-GMA	Morphology, Tensile	1996 ²⁴
HDPE/PETP	HDPE-g-GMA	Morphology, Tensile	1999 ²⁵
PP/PBTP	PP-g-GMA	Tensile, Impact, Morphology	1996 ^{26,13}
PP/PETP	PP-g-GMA	Morphology, Tensile	1997 ²⁷
PP/NBR	PP-g-GMA	Impact	1996 ¹⁴
PP/PA 1010	PP-g-GMA	Morphology	1998 ²⁸

* E-GMA : ethylene glycidyl methacrylate copolymer

SCR : crosslink PS core and PMMA-MA shell

morphology : สัณฐานวิทยา

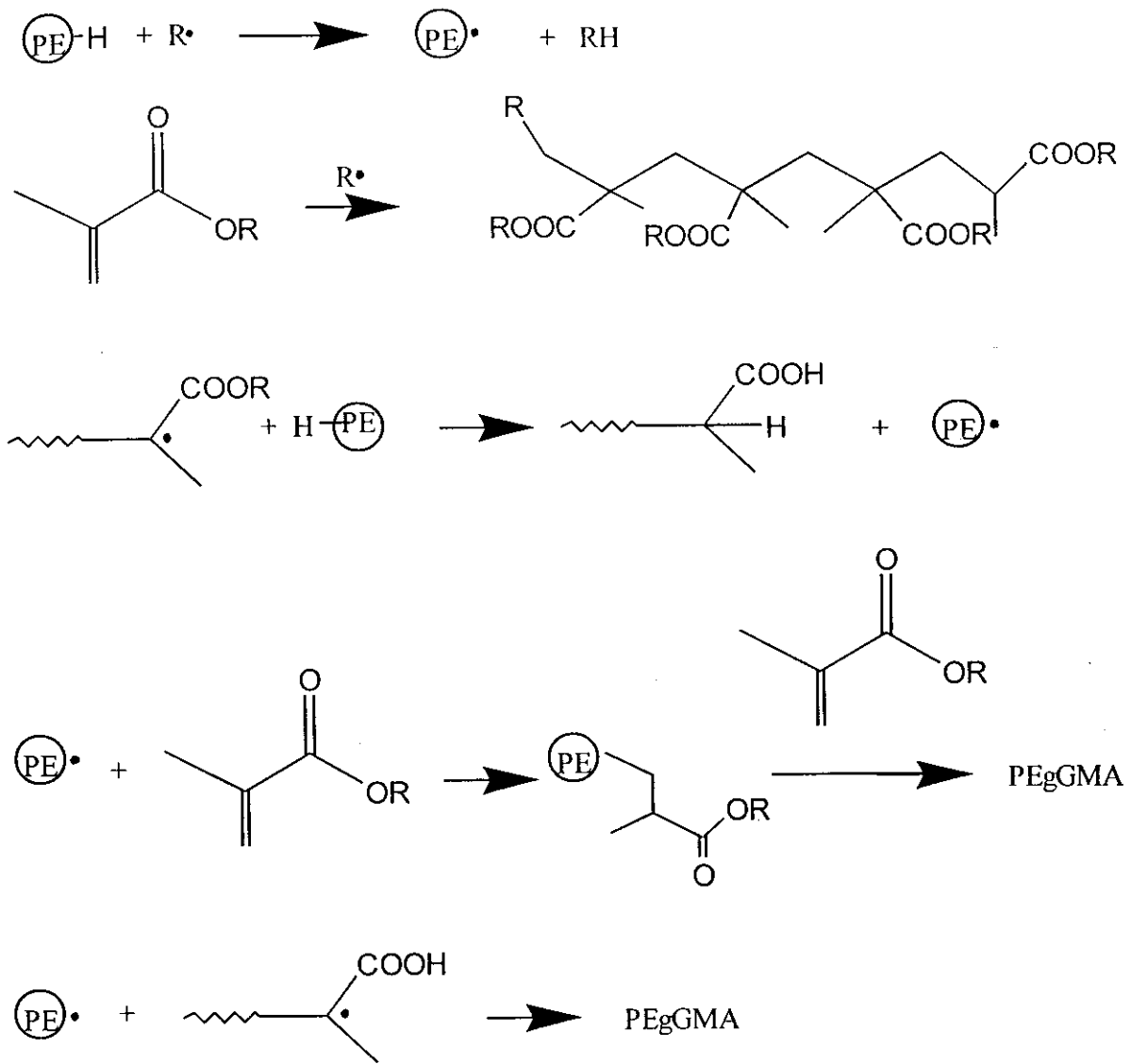
impact strength : การทนแรงกระแทก

tensile strength : การทนแรงดึง

เชน และคณะ (Chen et al.)² ศึกษาการกราฟแบบอนุมูลอิสระของไกลซีดิล เมททาไคเลท มอนอเมอร์ บันพอลิพอลีน โดยมี 2,5-ไดเมทธิล-2,5-บิส(เทอเซลี-บิวทิล เพอออกซี) เอกเซน (2,5-dimethyl-2,5-bis(t-butyl peroxy)hexane, TRIGONOX 101: TX 101) เป็นตัวเริ่มอนุมูลอิสระ ปฏิกิริยาการกราฟเกิดในเครื่องอัครีดแบบสกรูคู่ (twin screw extruder) มีการศึกษาอิทธิพลของตัวแปรต่างๆ เช่น อุณหภูมิ ความเร็วอบของสกรู ปริมาณมอนอเมอร์ ความเข้มข้นของตัวเริ่มอนุมูลอิสระ และวิธีในการกราฟ (ลำดับการเติม มอนอเมอร์ และตัวเริ่มอนุมูลอิสระ) ต่อระดับการกราฟ เทคนิคฟูริเออร์ทرانฟอร์ม อินฟราเรด สเปกโถรัสโกปี และ การวิเคราะห์โดยหาปริมาณออกซิเจน ใช้ในการหาระดับของการกราฟ โดยที่ระดับของการกราฟมีการเปลี่ยนแปลงตาม ส่วนประกอบของการผสม ความเร็วอบของสกรู และอุณหภูมิในการเกิดปฏิกิริยา

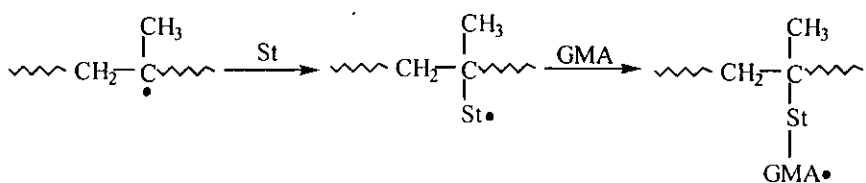
ชัน และคณะ (Sun et al.)³ ได้เตรียม พอลิพอลีนกราฟด้วย ไกลซีดิล เมททาไคเลท มอนอเมอร์ ในเครื่องอัครีดชนิดสกรูคู่แบบหมุนตามกัน (co-rotating twin screw extruder) ในการศึกษานี้ใช้ ส్టైเรน มอนอเมอร์ (styrene monomer) เป็น โภมอนอเมอร์ (comonomer) เพื่อลดการเกิดการตัดสายโซ่ (chain scission) ของพอลิพอลีน ระดับการกราฟเพิ่มขึ้นกับความเข้มข้นของเปอร์ออกไซด์ แต่ ระดับการกราฟลดลง เมื่อมีการเพิ่มความเร็วอบของสกรู และอัตราการป้อน (feed rate) การหา ระดับการกราฟทำได้โดยใช้เทคนิคฟูริเออร์ทرانสฟอร์ม อินฟราเรดสเปกโถรัสโกปี เวลาครึ่งชีวิต (half-life time) และประสิทธิภาพของเปอร์ออกไซด์เป็นปัจจัยที่วิจัย ในการเกิดอัตราการกราฟ และ ระดับการกราฟ การมีส్టైเรน มอนอเมอร์ ทำให้ระดับการกราฟของ ไกลซีดิล เมททาไคเลท มอนอเมอร์ บันพอลิพอลีนเพิ่มขึ้นประมาณ 3 เท่า¹⁵

บอร์ทีวัน และคณะ (Boutevun et al.)²⁴ ศึกษาการกราฟ พอลิเอทิลีนชนิดความหนาแน่นสูง (high density polyethylene, HDPE) ด้วยมอนอเมอร์ต่างชนิดกัน คือ เมทธิล เมททาไคเลท (methyl methacrylate, MMA), นาเลอิก แอน ไฮดรอยด์ (maleic anhydride) ไกลซีดิล เมททาไคเลท (glycidyl methacrylate) ไฮดรอกซี เอทิล เมททาไคเลท (hydroxy ethyl methacrylate) และเอทิล อะไคเลท (ethyl acrylate) การผสมทำในเครื่องผสมแบบแบตซ์ชนิดราบเนนเดอร์ ที่ 110°C และความเร็วอบ 64 รอบต่อนาที การวิเคราะห์ระดับการกราฟใช้ การไดเรทโดยปริมาตร (volumetric titration) ส่วน เทคนิคฟูริเออร์ทرانสฟอร์ม อินฟราเรดสเปกโถรัสโกปี ใช้ในการวิเคราะห์เชิงคุณภาพของการเกิดปฏิกิริยาการกราฟ

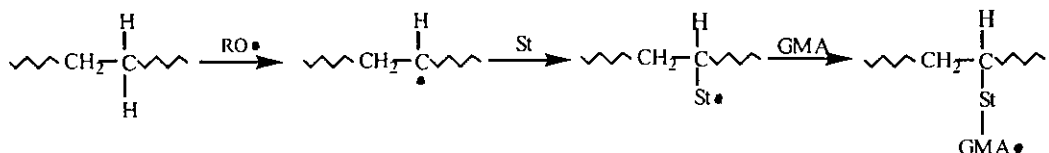


รูปที่ 2.2 : กลไกการกราฟไกลเซดิล เมททาไคลอเลท มอนอเมอร์บนพอลิเอทิลีนชนิดความหนาแน่นค่า 1

นักวิจัยหลายท่านพบว่าการเติม สไตรีน มองอเมอร์ เข้าไปในการกราฟของ ไกลซีดิล เมททาไกเลท บันพอลิพิลีน และพอลิเอทธิลีนชนิดความหนาแน่นสูง ทำให้ระดับการกราฟเพิ่มขึ้น อย่างมีนัยสำคัญ สไตรีน มองอเมอร์ ใช้เป็นโภคภัณฑ์ใน PP-g-GMA^{15,24,29,30} และ HDPE-g-GMA^{29,17} ซึ่ง และคละ¹⁵ ได้เสนอถลไกการเกิดปฏิกิริยาของการกราฟ ไกลซีดิล เมททาไกเลท มองอเมอร์ บันพอลิพิลีน โดยมีการเติม สไตรีน มองอเมอร์ ดังนี้ คือ สไตรีนทำปฏิกิริยากับ อนุมูลอิสระติดภูมิของพอลิพิลีน (PP tertiary macroradicals) ก่อน แล้วเกิดเป็นอนุมูลอิสระสไตริล (styryl radicals) จากนั้นเกิดโคพอลิเมอร์ (copolymerization) กับ ไกลซีดิล เมททาไกเลท มองอเมอร์



การเทียบและสูตร (Cartier and Hu)¹⁷ ศึกษา การกราฟแบบอนุมูลอิสระของ ไกลซีดิล เมททาไกเลท มองอเมอร์ บันพอลิเอทธิลีนชนิดความหนาแน่นสูง ปฏิกิริยาการกราฟเกิดในเครื่องผสมแบบ แบบทัช ที่ 180°C เป็นเวลา 15 นาที ไกลซีดิล เมททาไกเลท มองอเมอร์ สไตรีน มองอเมอร์ และ 2,5-บิส(เทอเชรี-บิวทิว เพอออกซี)-2,5-ไดเมทิล เอกเซน (2,5-bis(tert-butylperoxy)-2,5-dimethyl hexane, DHBHP) จะถูกผสมเข้ากันกับ พอลิเอทธิลีนชนิดความหนาแน่นสูงที่มีลักษณะเป็นผง ที่อุณหภูมิห้อง ก่อน ส่วนประกอบของ HDPE:DHBHP:GMA มีค่า 100:0.4:0-10 ระดับการกราฟเพิ่มขึ้นกับปริมาณ ของ ไกลซีดิล เมททาไกเลท มองอเมอร์ และจะคงที่ที่ 3 phr ของ ไกลซีดิล เมททาไกเลท นอกจากนี้ ยังมีการศึกษาผลของ สไตรีน มองอเมอร์ต่อการกราฟของระบบบีน มีการเปลี่ยนแปลงอัตราส่วนของ โคบโนลของสไตรีน และ ไกลซีดิล เมททาไกเลท มองอเมอร์ พบว่า อัตราส่วนโคบโนลของสไตรีน ต่อ ไกลซีดิล เมททาไกเลท ที่ 1.0 โนล/โนล ให้ระดับการกราฟที่สูงที่สุด เขาได้เสนอว่า กลไกของการเกิดปฏิกิริยาของ PP-g-GMA ที่มีสไตรีนควรจะใช้ได้กับกรณีการกราฟของพอลิเอทธิลีน กลไกของการกราฟแบบถูกโซ่ของ ไกลซีดิล เมททาไกเลท มองอเมอร์ บันพอลิเอทธิลีน เป็นดังนี้ คือ สไตรีนจะทำปฏิกิริยากับอนุมูลอิสระทุติภูมิของพอลิเอทธิลีน (PE secondary macroradicals) ก่อนแล้วเกิดโค-พอลิเมอร์กับ ไกลซีดิล เมททาไกเลท มองอเมอร์



บทที่ 3

วัสดุและการทดลอง

3.1 วัสดุ

วัสดุที่ใช้ในการทดลองแสดงในตารางที่ 3.1

ตารางที่ 3.1 : วัสดุที่ใช้ในการทดลอง

วัสดุ	บริษัท
LDPE (EL-Lene: LD1905F)	ไทยโพลีเอทิลีน
DCP	Aldrich
GMA monomer	Fluka
Xylene	Mallinckrodt
Acetone	Mallinckrodt
IGETABOND 2 C (copolymer of ethylene with 6 wt% GMA)	Sumitomo Chemicals, Japan

3.2 วิธีการทดลอง

3.2.1 กระบวนการกราฟ

ปฏิกริยาการกราฟเกิดขึ้นในเครื่องผสมภายใน (Rheomix 3000p Haake mixer) ซึ่งมีปริมาตร 310 cm^3 โดยใช้แกนหมุนชนิดโรเรอร์ (Roller rotors) การหมุนของแกนหมุนเป็นแบบสวนทางกัน โดยที่แกนหมุน จะหมุนด้วยความเร็วอ่อนเพ้ากัน 60 รอบต่อนาที ในปฏิกริยาการกราฟจะทำโดยการบดผสมเม็ดพอลีเอทิลีนชนิดความหนาแน่นต่ำ กับ ไกลเซดิล เมททาไคลेठ มองอเมอร์ ซึ่งอยู่ในรูปของเหลว และตัวเริ่มอนุญาติสารที่ใช้ คือ ไดคิวมิล เบอร์ออกไซด์ เข้าด้วยกัน โดยมีการปรับเปลี่ยนปริมาณของไกลเซดิล เมททาไคลेठ มองอเมอร์ (5, 10 phr) และ ไดคิวมิล เบอร์ออกไซด์ (0.2, 0.4, 0.6 phr) ในการผสมจะทำการตั้งค่าอุณหภูมิการบดผสมอยู่ 2 ค่าคือที่ 180°C กับ 200°C และใช้เวลาในการผสม ที่เวลา 10 นาที ในการป้อนสารที่ทำการบดผสมนั้นจะป้อนพร้อมกันในตอนเริ่มต้นของการบดผสมที่กรวยเติมสาร (feed hopper)

3.2.2 การวิเคราะห์กราฟโพลิเมอร์

กราฟโพลิเมอร์ที่ได้จากการบดผสมในเครื่องผสมภายในน้ำมalaถ่ายในตัวละลายไชลีน (*p-xylene*) ที่ร้อน และทำการตกตะกอนโดยใช้อัซ็อกน (acetone) ที่อุณหภูมิห้อง เพื่อที่จะทำการละลายเอพอลิไกลซีดิล เมททาไคลเลท (GMA homopolymer) ออกมากับอะซ็อกน จากนั้นนำของผสมที่ได้จากการตกตะกอนไปอบแห้งภายใต้สูญญากาศที่อุณหภูมิ 70°C เป็นเวลาประมาณ 2 วัน นำสารที่ได้ไปทำการขึ้นรูปเป็นฟิล์มนางๆ ประมาณ 100-200 ไมโครเมตร โดยใช้เครื่องอัด (compression molding; GoTech) แล้วนำแผ่นฟิล์มไปทำการวิเคราะห์เชิงคุณภาพและเชิงปริมาณโดยใช้เครื่องฟริโอร์ทระนสฟอร์ม อินฟราเรด สเปกโตรสโคป (FTIR spectrometer; Perkin Elmer)

ในการวิเคราะห์ระดับการกราฟของโพลิอิทธิลีนที่กราฟด้วยไกลซีดิล เมททาไคลเลท มอนอเมอร์ (LDPE-g-GMA) ได้มีการสร้างกราฟมาตรฐาน (calibration curve) ขึ้นเพื่อใช้ในการวิเคราะห์โดยทำการเจือจางสารมาตรฐาน IGETABOND 2C ด้วยการผสมกับโพลิอิทธิลีนชนิดความหนาแน่นต่ำตามอัตราส่วนที่กำหนด แล้วทำการละลายของผสมในตัวทำละลายไชลีนที่ร้อน และทำการตกตะกอนด้วยอะซ็อกน นำของผสมที่ได้จากการตกตะกอนไปอบแห้งภายใต้สูญญากาศที่อุณหภูมิ 70°C เป็นเวลาประมาณ 2 วัน จากนั้นทำการเตรียมตัวอย่างด้วยวิธีที่กล่าวมาข้างต้น

3.2.2.1 การหาระดับของการกราฟโดยใช้เทคนิคฟริโอร์ทระนสฟอร์ม อินฟราเรดสเปกโตรสโคป

ระดับของการกราฟและการเกิดปฏิกิริยาการกราฟของไกลซีดิล เมททาไคลเลท มอนอเมอร์ ไปบนโพลิอิทธิลีนชนิดความหนาแน่นต่ำ ถูกวิเคราะห์โดยใช้เทคนิคฟริโอร์ทระนสฟอร์ม อินฟราเรดสเปกโตรสโคป โดยการเตรียมชิ้นงานที่ทดสอบเป็นแผ่นฟิล์มนางๆ ประมาณ 100-200 ไมโครเมตร โดยใช้เครื่องอัด ที่อุณหภูมิ 150°C ตัวอย่างซึ่งนำมาวิเคราะห์ได้จากการสกัดเอพอลิ-ไกลซีดิล เมททาไคลเลಥอกออกไป จากนั้นนำชิ้นงานไปทดสอบด้วยเทคนิค ฟริโอร์ทระนสฟอร์ม อินฟราเรดสเปกโตรสโคป โดยตั้งค่าจำนวนการสแกน (number of scan) เท่ากับ 16 ที่การแยก (resolution) เท่ากับ 4 cm^{-1} และช่วงของค่าที่ทำการวัดอยู่ในช่วงเลขคู่ (wavenumber) เท่ากับ 4000 cm^{-1} ถึง 600 cm^{-1} กลุ่มของอิพอกซี เป็นตัวบอกถึงลักษณะของไกลซีดิล เมททาไคลเลท มอนอเมอร์ ซึ่งใช้ในการหาระดับการกราฟ และใช้นมูเอทิลีน (ethylene unit band; CH_2 rocking) เป็นมาตรฐานภายใน (internal standard)

3.2.2.2 การทดสอบสมบัติทางการไหลของ Graf พอลิเมอร์โดยใช้มาตรฐานการทดสอบค่าดัชนีการไหล

การทดสอบค่าดัชนีการไหล (Melt Flow Index, MFI) ใช้เครื่องทดสอบค่าดัชนีการไหล (Melt Flow Indexer; Dynisco) สามารถที่ใช้ในการทดสอบคือ ที่อุณหภูมิ 180°C น้ำหนักกดเท่ากับ 2.16 กิโลกรัม เวลาในการหลอมเหลวเท่ากับ 360 วินาที โดยนำสารที่ได้จากการสกัดเอาพอ-ลิกอกซีดิล เมททาไคลเดฟ ออกแล็นด์น้ำอบไปอบภายใต้อุณหภูมิ 70°C เป็นเวลาประมาณ 2 วัน มาใช้ในการทดสอบค่าดัชนีการไหล

บทที่ 4

ผลการทดลองและวิเคราะห์ผลการทดลอง

4.1 การหาค่าระดับการกราฟโดยใช้เทคนิคพูร์ฟอร์ทранสฟอร์ม อินฟราเรดスペกโถร์สโกปี

ปฏิกรรมการกราฟ สามารถวิเคราะห์โดยใช้เทคนิคพูร์ฟอร์ทранสฟอร์ม อินฟราเรดスペกโถร์สโกปี โดยการติดตามการเกิดของพีคใหม่บน พอลิเมอร์สายหลัก (polymer backbone chains) ระดับการกราฟของกราฟพอลิเมอร์ สามารถหาโดยการใช้ความสัมพันธ์ของอัตราส่วนของอีพอกซี่พีค ต่อพีคอ้างอิง (reference peak)

ในการหาระดับของการกราฟนี้ มีการสร้างกราฟมาตรฐาน โดยใช้โคโพลิเมอร์พอลิเอทธิลีน กับไกลซีดิล เมททาไคลเดท ที่มีเปอร์เซ็นต์ของไกลซีดิล เมททาไคลเดท เท่ากับ 2, 4, 6 % โดยนำหนัก วัดค่าความสัมพันธ์ของอัตราส่วนของความสูงของอีพอกซี่พีคของไกลซีดิล เมททาไคลเดท ต่อเอทธิลีน พีคซึ่งเป็นพีคอ้างอิง

FTIR สเปกตรัมของพอลิเอทธิลีน และ LDPE-g-GMA แสดงดังรูปที่ 4.1 โดยสเปกตรัมของ พอลิเอทธิลีน จะแสดงลักษณะของพีคต่างๆ เช่น พีคการหมุนของ CH_2 (CH_2 rocking) ที่ 720 cm^{-1} พีค การบิดของ CH_3 (CH_3 , bending) ที่ 1368 cm^{-1} และ พีคการยืดของ CH (CH stretching) ที่ 1460 cm^{-1} และพบพีคใหม่ที่เกิดขึ้นบนสเปกตรัมของ LDPE-g-GMA ที่ $850, 910, 1730 \text{ cm}^{-1}$ ซึ่งเป็นลักษณะของ ไกลซีดิล เมททาไคลเดท โดยที่ $850, 910 \text{ cm}^{-1}$ มาจากกลุ่มอีพอกซี่ และที่ 1730 cm^{-1} มาจากกลุ่มคาร์บอนิล ในการศึกษาครั้งนี้ใช้พีค CH_2 ที่ 720 cm^{-1} เป็นพีคอ้างอิง และอีพอกซี่พีคที่ 910 cm^{-1} ในการหา ระดับการกราฟ ความสัมพันธ์เชิงเส้นระหว่างอัตราส่วนของความเข้ม (intensity ratio) และปริมาณ GMA แสดงในรูปที่ 4.2

4.1.1 ผลกระทบของการปรับเปลี่ยนปริมาณของตัวเริ่มอนมูโลสิระ และมอนอเมอร์

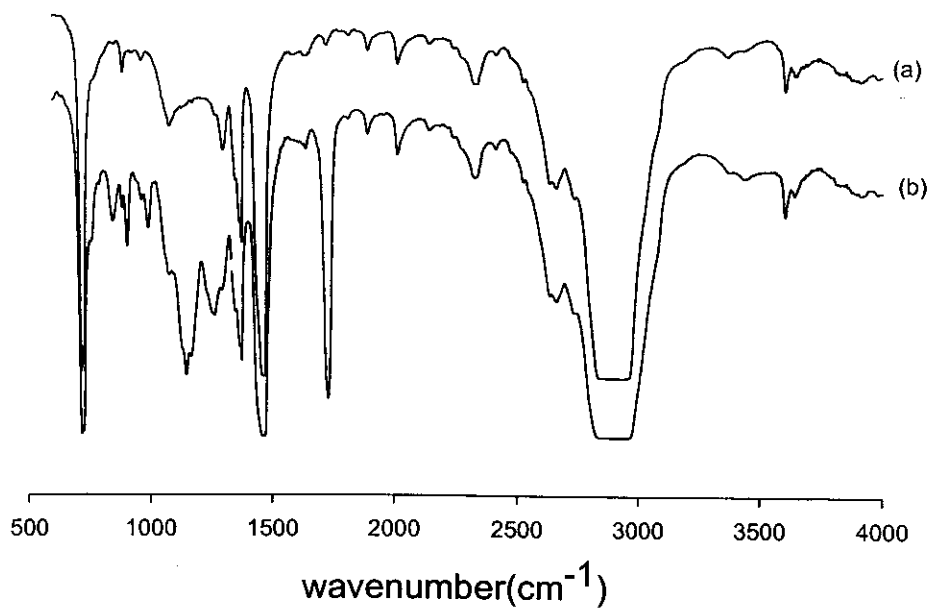
ความเข้ม (intensity) ของพีคของกลุ่มคาร์บอนิล และของกลุ่มอีพอกซี่มีค่ามากขึ้นเมื่อความเข้มข้นของมอนอเมอร์และตัวเริ่มต้นปฏิกรรมการมีค่าเพิ่มขึ้นดังแสดงในรูปที่ 4.3 และ 4.4 โดยที่รูปที่ 4.3 แสดงสเปกตรัมของ FTIR ของ LDPE-g-GMA ที่ปริมาณของไกลซีดิล เมททาไคลเดท เท่ากับ 5 phr และ ไคคิวมิล เปอร์ออกไซด์ เท่ากับ 0.2, 0.4, 0.6 phr ความเข้มของกลุ่มของอีพอกซี่เพิ่มขึ้นตามการเพิ่มขึ้นของความเข้มข้นของไคคิวมิล เปอร์ออกไซด์ ค่าระดับของการกราฟของระบบนี้แสดงในตารางที่ 4.1 ซึ่งทำการวัดค่าระดับของการกราฟ จากอัตราส่วนของความสูงของกลุ่มของอีพอกซี่กับพีคของ CH_2 จากนั้นใช้กราฟมาตรฐานในการหาระดับการกราฟ สเปกตรัมของ FTIR ของ LDPE-g-GMA ที่ความเข้มข้นของไกลซีดิล เมททาไคลเดท เท่ากับ 10 phr และความเข้มข้นของไคคิวมิล เปอร์ออกไซด์ เท่ากับ 0.2, 0.4, 0.6 phr แสดงในรูปที่ 4.4 ซึ่งค่าความสูงของพีคของอีพอกซี่เพิ่มขึ้นตามการเพิ่มขึ้นของปริมาณของไคคิวมิล เปอร์ออกไซด์ เช่นเดียวกัน ดังนั้นระดับของการกราฟเพิ่มขึ้นตาม

การเพิ่มขึ้นของปริมาณของตัวเริ่มต้นอนุมูลอิสระ และมอนอเมอร์ดังแสดงในตารางที่ 4.1 แต่อ่อนง่ายไร้กีต้ามระดับการกราฟของ LDPE-g-GMA ที่ไม่มีไดคิวมิว เปอร์ออกไซด์ ไม่สามารถวิเคราะห์ได้โดยเทคนิคฟูริเออร์ทรานส์ฟอร์ม อินฟราเรดสเปกโตรสโคปี อาจเนื่องมาจากมีการกราฟในระดับที่ต่ำมาก ซึ่งกลุ่มอีพอกซี่ไม่ไวพอต่อการวิเคราะห์ แต่จาก群ที่ 4.4 สามารถสังเกตกลุ่มการรับอนิล ซึ่งเป็นการบอกร่องการเกิดปฏิกิริยาการกราฟ

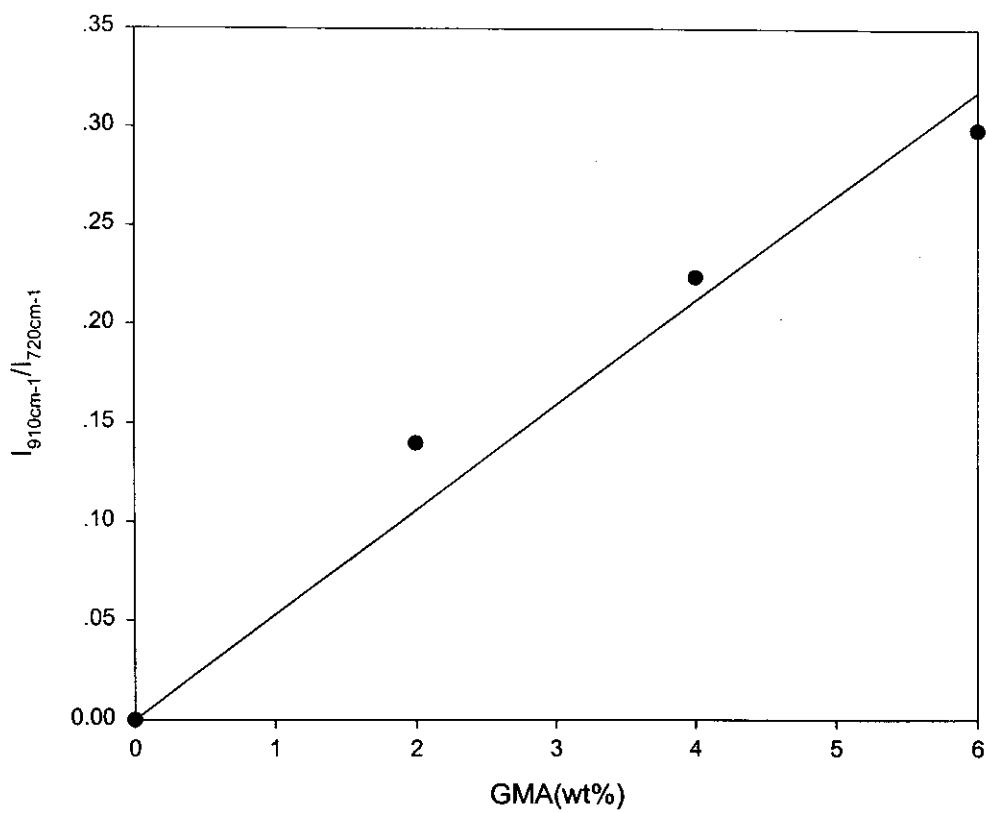
ตารางที่ 4.1 : ผลกราบทบของการปรับเปลี่ยนความเข้มข้นของมอนอเมอร์ และตัวเริ่มอนุมูลอิสระ ต่อระดับการกราฟของ LDPE-g-GMA วิเคราะห์โดยใช้เทคนิคฟูริเออร์ทรานส์ฟอร์ม อินฟราเรดสเปกโตรสโคปี

ส่วนประกอบ	GMA (wt%)
LDPE/DCP/GMA 100/0/5	0
LDPE/DCP/GMA 100/0.2/5	0.38
LDPE/DCP/GMA 100/0.4/5	0.78
LDPE/DCP/GMA 100/0.6/5	0.85
LDPE/DCP/GMA 100/0/10	0
LDPE/DCP/GMA 100/0.2/10	2.94
LDPE/DCP/GMA 100/0.4/10	4.34
LDPE/DCP/GMA 100/0.6/10	5.11

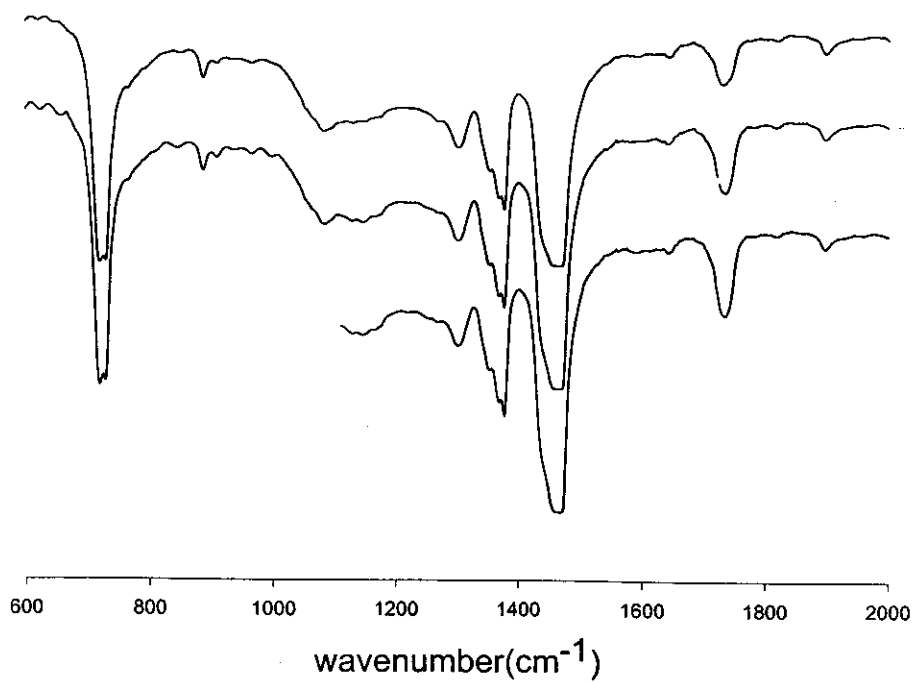
ที่อุณหภูมิการพسم 180 °C และเวลาการพสม 10 นาที



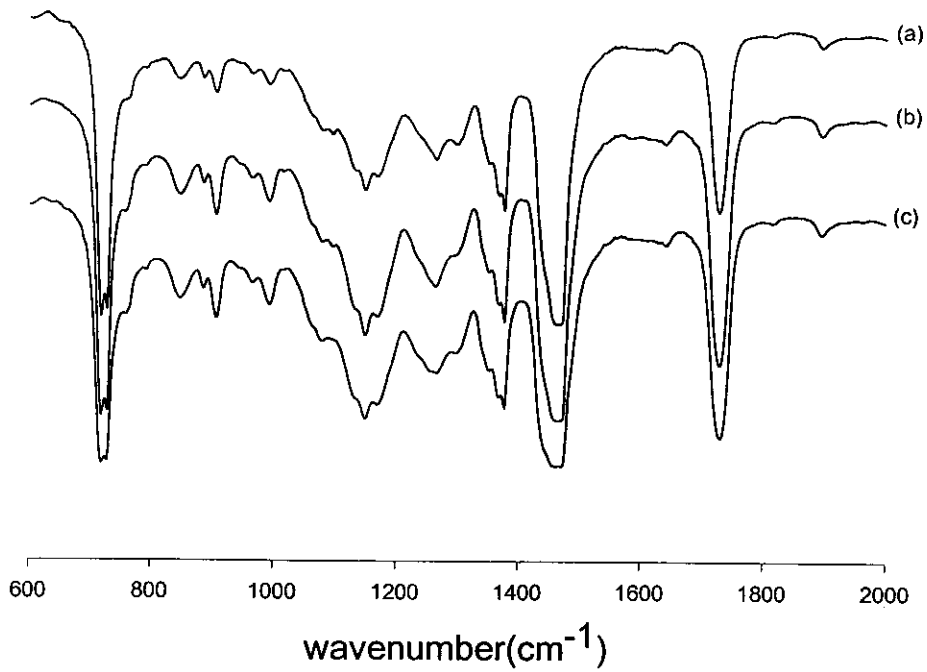
รูปที่ 4.1 : FTIR สเปกตรัม (a) LDPE (b) LDPE/DCP/GMA 100/0.6/10



รูปที่ 4.2 : กราฟมารฐาน



รูปที่ 4.3 : FTIR สเปกตรัม (a) LDPE/DCP/GMA 100/0.2/5 (b) LDPE/DCP/GMA 100/0.4/5
(c) LDPE/DCP/GMA 100/0.6/5



รูปที่ 4.4 : FTIR สเปกตรัม (a) LDPE/DCP/GMA 100/0.2/10 (b) LDPE/DCP/GMA 100/0.4/10
(c) LDPE/DCP/GMA 100/0.6/10

4.1.2 ผลกระทบของการปรับเปลี่ยนอุณหภูมิของกระบวนการกราฟ

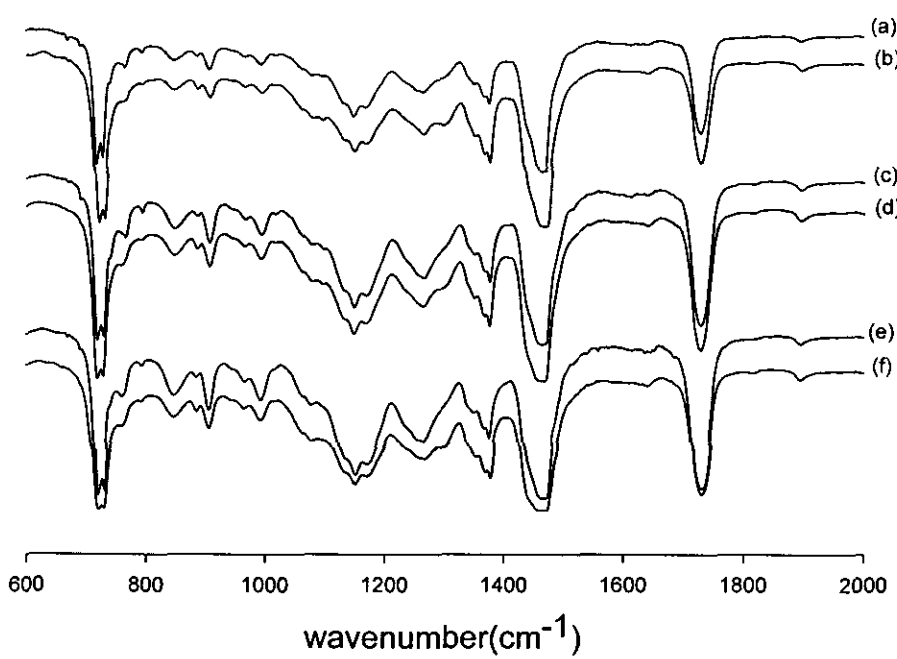
ผลกระทบของการเปลี่ยนอุณหภูมิในการทดสอบที่ 180°C และ 200°C ต่อระดับการกราฟ แสดงในตารางที่ 4.2

ตารางที่ 4.2 : ผลกระทบของการปรับเปลี่ยนอุณหภูมิของกระบวนการกราฟต่อระดับการกราฟของ LDPE-g-GMA วิเคราะห์โดยใช้เทคนิคพูร์โตรานส์ฟอร์ม อินฟราเรดสเปกโตรสโคปี

ส่วนประกอบ	อุณหภูมิการทดสอบ ($^{\circ}\text{C}$)	GMA (wt%)
LDPE/DCP/GMA 100/0.2/10	180	2.94
LDPE/DCP/GMA 100/0.2/10	200	2.13
LDPE/DCP/GMA 100/0.4/10	180	4.34
LDPE/DCP/GMA 100/0.4/10	200	3.57
LDPE/DCP/GMA 100/0.6/10	180	5.11
LDPE/DCP/GMA 100/0.6/10	200	4.26

ที่อุณหภูมิการทดสอบ 180°C , 200°C เวลาการทดสอบ 10 นาที และปริมาณ GMA 10 phr

จากตารางที่ 4.2 พบร่วมกับระดับของการกราฟมีค่าลดลงเมื่ออุณหภูมิในกระบวนการกราฟเพิ่มขึ้น การลดลงของระดับของการกราฟ อาจเกิดจากเมื่ออุณหภูมิในการกราฟสูงกว่าจุดเดือดของไกลเซติล เมททาไคลอเลท มอนอเมอร์ ซึ่งมีจุดเดือดเท่ากับ 180°C ทำให้เกิดการสูญเสียของไกลเซติล เมททาไคลอเลท มอนอเมอร์โดยการระเหย ทำให้ปริมาณของไกลเซติล เมททาไคลอเลท ที่เหลือในกระบวนการกราฟน้อยลง เป็นผลให้ที่อุณหภูมิการกราฟที่ 200°C มีระดับของการกราฟน้อยกว่าที่ 180°C



รูปที่ 4.5 : FTIR สเปกตรัม (a) LDPE/DCP/GMA 100/0.2/10 (180⁰C) (b) LDPE/DCP/GMA 100/0.2/10 (200⁰C) (c) LDPE/DCP/GMA 100/0.4/10 (180⁰C) (d) LDPE/DCP/GMA 100/0.4/10 (200⁰C) (e) LDPE/DCP/GMA 100/0.6/10 (180⁰C) (f) LDPE/DCP/GMA 100/0.6/10 (200⁰C)

4.2 การศึกษาสมบัติด้านวิทยากรรมแสง

ในส่วนนี้เป็นการศึกษาผลของการกราฟ การสลายตัว (degradation) ของ พอลิอีทิลีน ระหว่างการเกิดปฏิกิริยาการกราฟ และการเกิดเจล (gel) ต่อสมบัติการไหลด ซึ่งใช้ค่าดัชนีการไหลด เป็นตัวบ่งชี้ นอกจากนี้ยังใช้ค่าทอร์ก (torque) ที่วัดได้จากการผสมในเครื่องผสมภายในประกอบในการวิเคราะห์ผล

ตารางที่ 4.3 : ค่าดัชนีการไหลด และค่าทอร์กต่ำสุด ของ พอลิอีทิลีน พอลิอีทิลีนที่มีการกระทำทางกล (mechanically treated LDPE, MLDPE) และพอลิอีทิลีนที่มีการผสมด้วยไดคิวมิล เบอร์ออกไซด์ ที่ 0.2, 0.4, 0.6 phr

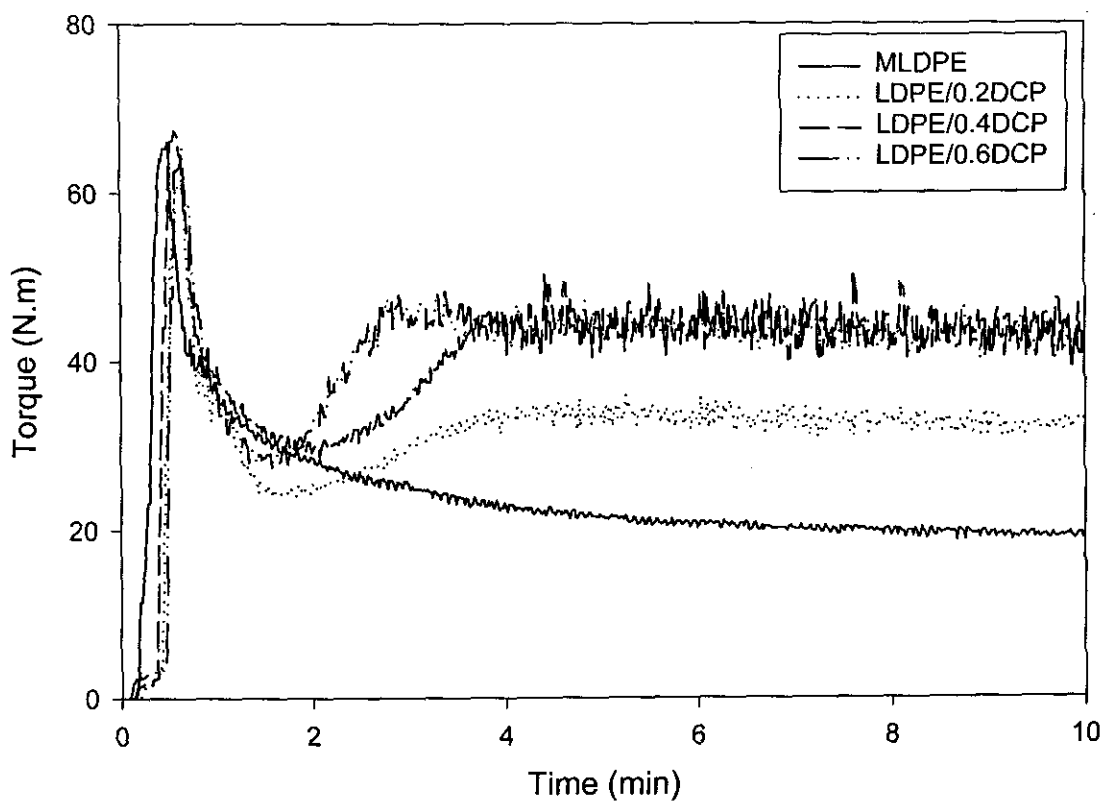
ส่วนประกอบ	ค่าดัชนีการไหลด (กรัม/10 นาที)	ค่าทอร์กต่ำสุด (N.m)
LDPE	3.832	-
Mech. LDPE	3.276	17.7
LDPE/DCP 100/0.2	-*	32.3
LDPE/DCP 100/0.4	-*	40.8
LDPE/DCP 100/0.6	-*	43.6

* ไม่สามารถหาค่าดัชนีการไหลดของตัวอย่าง LDPE/DCP

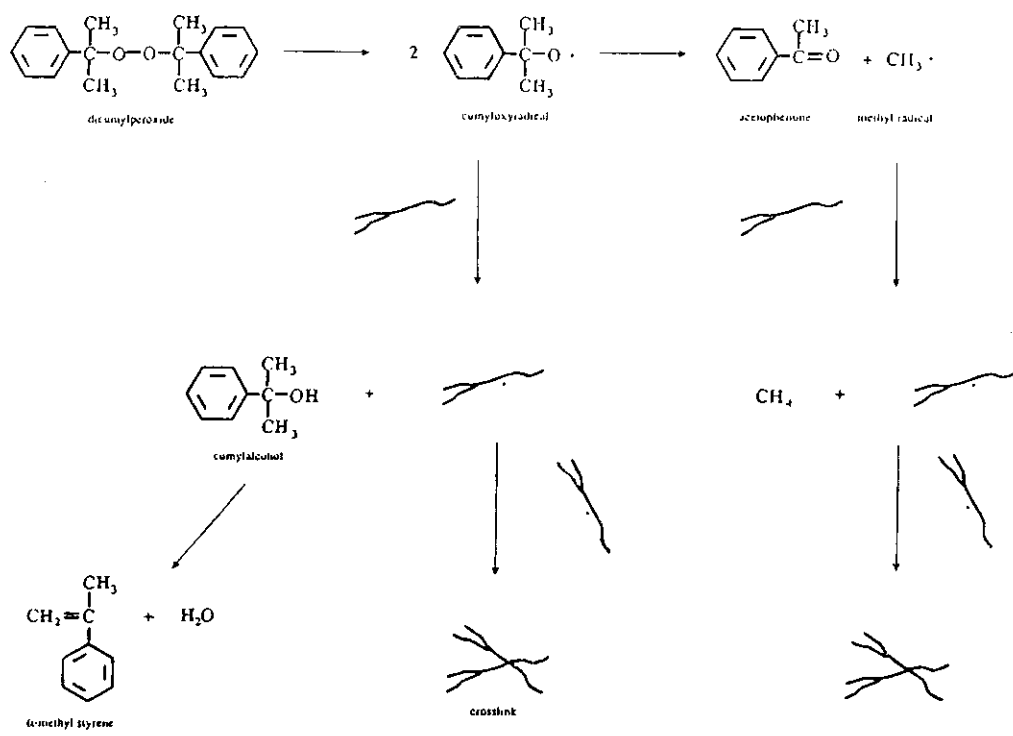
ที่อุณหภูมิการผสม 180 °C และเวลาการผสม 10 นาที

ในขั้นแรกเป็นการศึกษาผลของความเข้มข้นของตัวเริ่มอนุมูลิสระ จากตารางที่ 4.3 แสดง ค่าดัชนีการไหลด และ ค่าทอร์กต่ำสุด (minimum torque) ของ พอลิอีทิลีน พอลิอีทิลีนที่มีการกระทำทางกล (mechanically treated LDPE) และ พอลิอีทิลีน ที่มีการผสมด้วยไดคิวมิล เบอร์ออกไซด์ ที่ 0.2, 0.4, 0.6 phr พบว่าค่าดัชนีการไหลดของพอลิอีทิลีนที่มีการกระทำทางกล มีค่าต่ำกว่าของพอลิอีทิลีน ในกระบวนการทัดลอง ไม่สามารถหาค่าดัชนีการไหลดของพอลิอีทิลีน ที่มีการผสมด้วยไดคิวมิล เบอร์ออกไซด์ ที่ 0.2, 0.4, 0.6 phr ได้ เนื่องจากตัวอย่างมีความหนืดที่สูง ไม่สามารถตรวจสอบได้ด้วยเครื่องวัดคัชนีการไหลด เมื่อพิจารณาค่าทอร์กต่ำสุด พบว่าค่าทอร์กต่ำสุดของ พอลิอีทิลีน มีค่าต่ำที่สุด ค่าทอร์กต่ำสุดของพอลิอีทิลีนที่มีการกระทำทางกลมีค่าสูงกว่าพอลิอีทิลีน และค่าทอร์กต่ำสุดของพอลิอีทิลีน ที่มีการผสมด้วยไดคิวมิล เบอร์ออกไซด์ ที่ 0.2, 0.4, 0.6 phr มีค่าสูงกว่าพอลิอีทิลีนทั้งสองระบบที่กล่าวมา โดยค่าทอร์กต่ำสุดจะมีค่ามากขึ้นเมื่อมีปริมาณไดคิวมิล เบอร์ออกไซด์ มากขึ้น ดังแสดงในรูปที่ 4.6 การที่ค่าดัชนีการไหลดมีค่าลดลง และค่าทอร์กต่ำสุดมีค่าเพิ่มขึ้น เนื่องจาก การเกิดร่างแท (crosslink) ของสายโซ่ไมเลกุล เมื่อมีการเติมตัวเริ่มอนุมูลิสระในระบบจะเกิด macroradicals และเกิดการรวมตัว (couple) กัน ได้โครงสร้างร่างแท (crosslinked network) ดังนั้น

ปฏิกิริยาจะเกี่ยวข้องกับการเพิ่มความหนืด (viscosity) ความหนืดเพิ่มขึ้นเมื่อความเข้มข้นของตัวเริ่มอนุญาลอิสระเพิ่มขึ้น การที่ความเข้มข้นของตัวเริ่มอนุญาลอิสระสูง จะมีการเกิดของ macroradicals ได้มากด้วย³¹ รูปที่ 4.7. แสดงการแตกตัวของไคโวโนล ปลอร์ออกไซด์ และการเกิดร่างแหของพอลิเอทธิลีน



รูปที่ 4.6 : ความสัมพันธ์ระหว่างค่าทอร์กต่ำสุด และเวลาในการผสมของ MLDPE และ LDPE ที่มีการผสมด้วย DCP 0.2, 0.4, 0.6 phr



รูปที่ 4.7 : การแตกตัวของไคคิวมิด เปอร์ออกไซด์ และการเกิดร่างแหของพอลิเอทธิลีน³¹

ในขั้นที่สองเป็นการศึกษาผลของการเติมไกลซีดิล เมททาไคเลท มอนอเมอร์ ต่อกำลังในการไอล และค่าทอร์กต่ำสุด ดังแสดงในตารางที่ 4.4

ตารางที่ 4.4 : ค่าดัชนีการไอล และค่าทอร์กต่ำสุดของพอลิเอทิลีนที่กราฟด้วยไกลซีดิล เมททาไคเลท มอนอเมอร์

ส่วนประกอบ	ดัชนีการไอล (กรัม/10 นาที)	ค่าทอร์กต่ำสุด (N.m)
LDPE/DCP/GMA 100/0/5	3.829	15.2
LDPE/DCP/GMA 100/0.2/5	2.373	17.4
LDPE/DCP/GMA 100/0.4/5	1.818	18.8
LDPE/DCP/GMA 100/0.6/5	1.078	20.6
LDPE/DCP/GMA 100/0/10	3.596	12.2
LDPE/DCP/GMA 100/0.2/10	2.273	14.3
LDPE/DCP/GMA 100/0.4/10	1.235	16.9
LDPE/DCP/GMA 100/0.6/10	0.389	19.3

ที่อุณหภูมิการผสมที่ 180 °C และเวลาการผสม 10 นาที

พบว่าเมื่อไกลซีดิล เมททาไคเลท มอนอเมอร์ มีความเข้มข้น เท่ากับ 5, 10 phr และความเข้มข้นของไดคิวมิล เปอร์ออกไซด์ เท่ากับ 0.2, 0.4, 0.6 phr ค่าดัชนีการไอล มีค่าลดลงตามความเข้มข้น ของ ไดคิวมิล เปอร์ออกไซด์ และค่าทอร์กต่ำสุดมีค่าเพิ่มขึ้นตามความเข้มข้นของไดคิวมิล เปอร์ออกไซด์ แต่ย่างไรก็ตามค่าทอร์กต่ำสุดของ grafted LDPE มีค่าต่ำกว่า พอลิเอทิลีน ที่มีการผสมด้วย ไดคิวมิล เปอร์ออกไซด์ ที่ปริมาณเท่ากัน ค่าทอร์กต่ำสุดของ grafted LDPE ที่มีไกลซีดิล เมททาไคเลท มอนอเมอร์ 10 phr มีค่าต่ำกว่าของระบบที่มีไกลซีดิล เมททาไคเลท มอนอเมอร์ 5 phr ในกรณีที่ มีปริมาณไดคิวมิล เปอร์ออกไซด์ เท่ากัน อาจเป็นไปได้ว่าในปฏิกริยาการกราฟแบบอนุมูลอิสระของ พอลิเอทิลีน มีปฏิกริยาที่เกิดขึ้นในสามลักษณะ ซึ่งมีผลต่อความหนืดของ grafted PE การเกิดร่องรอยของ PE macroradicals และการเกิดพอลิเมอร์ของไกลซีดิล เมททาไคเลท (GMA homopolymerization) ทำให้ความหนืดเพิ่มขึ้น ส่วนการเกิดการกราฟของไกลซีดิล เมททาไคเลท บน พอลิเอทิลีน ทำให้ความหนืดลดลง ดังนั้นจึงเกิดการแข่งขันของปฏิกริยาดังกล่าว

บทที่ ๕

บทสรุป

1. ระดับการกราฟขึ้นกับความเข้มข้นของตัวเริ่มอนุมูลอิสระและมอนомер ระดับการกราฟสูงสุดได้จากการรีด LDPE/DCP/GMA 100:0.6:10 มีค่า 5.11 wt%

2. อุณหภูมิในการผสม มีอิทธิผลต่อระดับการกราฟ คือ ที่อุณหภูมิในการผสม 200°C ระดับการกราฟมีค่าต่ำกว่าที่อุณหภูมิ 180°C อาจเนื่องมาจากอุณหภูมิที่ใช้มีค่ามากกว่าจุดเดือดของไกลเซดิลเมททาไคเลท มอนomer ทำให้เกิดการสูญเสียมอนomer ไปโดยการระเหยในระหว่างการป้อน

3. ค่าหอรักต่ำสุดของระบบ LDPE/DCP เพิ่มขึ้นตามความเข้มข้นของไคคิวมิล เบอร์-ออกไซด์ ทั้งนี้เพราะการมีความเข้มข้นของไคคิวมิล เบอร์-ออกไซด์ สูง ทำให้เกิด LDPE macroradicals ได้มาก มีผลทำให้เกิดปฏิกิริยาเร่งแหนกขึ้นด้วย ในทางตรงกันข้ามค่าหอรักษาของระบบ LDPE/DCP/GMA มีค่าต่ำกว่าของระบบ LDPE/DCP เพื่องจากปฏิกิริยาการกราฟ ทำให้การเกิด chain extension ของ LDPE macroradicals ลดลง

ข้อเสนอแนะ

ศึกษาการเกิดปฏิกิริยาการกราฟแบบอนุมูลอิสระในเครื่องอัดรีดแบบสกู๊ฟซึ่งเป็นเครื่องผสมแบบต่อเนื่อง

การนำ grafted polymer ที่เตรียมได้ ไปใช้เป็นตัวช่วยให้เข้ากันได้ในพอลิเมอร์ผสมที่ไม่เข้ากัน เช่น พอลิเอทิลีนชนิดความหนาแน่นสูงกับพอลิเอทิลีนเทเรฟทาเลท (HDPE/PET blend) โดยการทำการผสมแบบเกิดปฏิกิริยา (reactive blending) ซึ่งเป็นการเกิดปฏิกิริยาสองขั้น (two step reaction) นอกจากนี้ยังสามารถศึกษาการผสมของพอลิเมอร์ในเครื่องอัดรีดแบบสกู๊ฟซึ่งเป็นการเพิ่มขนาด (scale up) ของปฏิกิริยา โดยการเกิดปฏิกิริยาเป็นสองขั้นตอน หรือหนึ่งขั้นตอน (one step reaction) โดยที่มีการเกิดปฏิกิริยาการกราฟในช่วงแรกของเครื่องอัดรีดสกู๊ฟ และเกิดการผสมกับพอลิเมอร์ในช่วงท้ายของการกราฟในช่วงแรกของเครื่องอัดรีดสกู๊ฟ

បររលាយក្រម

1. R.R. Gallucci and R.C. Going (1982). *J. Appl. Polym. Sci.* 27(2): 425.
2. C.M. Chen, H.R. Lee, C.P. Wu, and H.C. Kao (1993). ANTEC: 2002.
3. Y-J. Sun, G-H. Hu, and M. Lambla (1995). *J. Appl. Polym. Sci.* 57(9): 1043.
4. C.A. Strait, L. Jackson, G.M. Lancaster, and R.L. Tabor (1986). U.S. Patent 4,578,429.
5. S.Y. Lee, R. Rengarajan, and M. Vicic (1990). *J. Appl. Polm. Sci.* 39: 1783.
6. S.Y. Lee and R. Rengarajan (1992). U.S. Patent 5,079,302.
7. A.R. Oeomehie, S.A. Hashemi, J.G. Meldrum, and D.N. Waters (1997). *Polym. Int.* 42(1): 117.
8. R.J. Ludwig (1983). *Modern Plastics*. 60(1): 78, 80, 81-82.
9. G.S. Rao and M.S. Choudhary (1996). *Eur. Polym. J.* 32(6): 695.
10. P.Ghosh, B. Chattopadhyay, and A.K. Sen (1998). *Polymer* 39(1): 193.
11. M.K. Akkapeddi, B. VanBuskirk, and X. Swamikannu (1992). *ACS: Polymeric Materials Sciences and Engineering*, 67:317.
12. S.S. Dagli and K.M. Kamdar (1994). *Polym. Eng. Sci.* 34(23): 1709.
13. G-H Hu, Y-J. Sun, and M.Lambda (1996). *J. Appl. Polym. Sci.* 61: 1039.
14. L-F. Chen, B. Wong, and W.E. Baker (1996). *Polym. Eng. Sci.* 36(12): 1594.
15. Y-J. Sun, G-H. Hu, and M.Lambda (1996). *Angew. Makromol. Chem.* 229: 1.
16. S.B. Brown (1992). *Reactive Extrusion: Principles and Practice*. (pp 80). M. Xanthos (ed.). New York, Hanser Publishers.
17. H. Cartier and G-H. Hu (1998). *J. Polym. Sci., Part A: Poly Chem.* 36: 2763.
18. M. Xanthos (1988). *Polym. Eng. Sci.* 28(21): 1393.
19. K. Chikanari, N. Yamaguchi, and T. Ohmae (1993). ANTEC: 229.
20. C-H. Tsai and F-C. Chang (1996). *J. Appl. Polm. Sci.* 61(2): 321.
21. C.M. Chen, H.R. Lee, S.Y. Wu, C.P. Chen, and H.C. Kao (1994). ANTEC: 2002.
22. H-H. Wang, W-C. Lee, D-T. Su, W-J. Cheng, and B-Y. Lin (1995). ANTEC: 2105.
23. T.M. Liu, R. Evans, and W.E. Baker (1995). ANTEC: 1564.
24. B. Boutevin, J.M. Lusinchi, Y. Pietrasanta, and J.J. Robin (1996). *Polym. Eng. Sci.*, 36(6): 879.
25. Y. Pietrasanta, J.J. Robin, N. Torres, and B. Boutevin (1999). *Macromol. Chem. Phys.* 200(1): 142.

26. Y-J. Sun, G-H. Hu, M. Lamba, and H.K. Kolter (1996). **Polymer**. 37(18): 4119.
27. M.F. Champagne, M.A. Haneault, C. Roux, and W. Peyrel (1997). **Polymerblends**: 82.
28. X. Zhang and J. Yin (1998). **Macromol. Chem. Phys.** 199(12): 2631.
29. H. Cartier and G-H. Hu (1998). **Polym. Eng. Sci.** 38(1): 177.
30. C. Roux, M.C. Hneault, and M.F. Champagne (1998). **ANTEC**: 2.
31. A. Smedberg, T. Hjertberg, and B. Gustafsson (1996). **Polymer**. 38(16): 4127.

ประวัติหัวหน้าโครงการผู้วิจัย

- ชื่อ(ภาษาไทย) นางสาว กษมา จารุกุมจ์
(ภาษาอังกฤษ) Miss Kasama Jarukumjorn

- รหัสประจำตัวนักวิจัยแห่งชาติ ไม่มี
- ตำแหน่งปัจจุบัน อาจารย์
- หน่วยงานที่อยู่ที่ติดต่อได้พร้อมโทรศัพท์และโทรสาร

สาขาวิชาวิศวกรรมพอลิเมอร์ สำนักวิชาวิศวกรรมศาสตร์
มหาวิทยาลัยเทคโนโลยีสุรนารี
อำเภอเมือง จังหวัดนครราชสีมา 30000
โทรศัพท์ (044) 224437 โทรสาร (044) 224431

5. ประวัติการศึกษา

ปีที่จบ	ระดับปริญญา	ชื่อปริญญา	สาขาวิชา	วิชาเอก	ชื่อสถาบัน	ประเทศ
1990	ตรี	วท.บ. (เกียรตินิยม)	เคมี	เคมี	มหาวิทยาลัย ขอนแก่น	ไทย
1993	โท	วท.ม.	Polymer Science	Polymer Science	มหาวิทยาลัยมหิดล	ไทย
1999	เอก	Ph.D.	Polymer Engineering	Polymer Engineering	The University of Akron	USA

6. สาขาวิชาการที่มีความชำนาญพิเศษ (แตกต่างจากวุฒิการศึกษา) ระบุสาขาวิชาการ

- กระบวนการขึ้นรูปพอลิเมอร์ (polymer processing)
- กระบวนการขึ้นรูปพอลิเมอร์แบบเกิดปฏิกิริยา (reactive processing)
- การวิเคราะห์พอลิเมอร์ (polymer characterization)

7. งานวิจัยที่ทำเสร็จแล้ว : ชื่อเรื่อง ปีที่พิมพ์ การเผยแพร่ และสถานภาพในการทำวิจัย

- K. Jarukumjorn and F.H. Axtell (1992). 18th Congress on Science and Technology of Thailand, Bangkok, Thailand: 630.

2. F. H. Axtell, K. Jarukumjorn, and W. Sophanowong (1994). The Influence of Interfacial Agents on the Impact Strength of Poly (Vinyl Chloride) and Soft Filler Composites. **Plastics Rubber and Composites Processing and Application.** 22: 79.
3. K. Jarukumjorn and K. Min (2000). On-Line Monitoring of Free Radical Grafting in a Model Twin Screw Extruder. **ANTEC:** 2064.
4. K. Jarukumjorn and K. Min (2000). Proceeding of the First Thailand Materials Science and Technology Conference, Bangkok, Thailand: 366.